

(Bi,La)FeO₃-PbTiO₃ 세라믹스의 자전효과

이은구[†] · 이종국 · 장우양 · 김선재* · 이재갑**

조선대학교 신소재공학과

*세종대학교 나노공학과

**국민대 신소재공학부

Magnetoelectric Effects in (Bi,La)FeO₃-PbTiO₃ Ceramics

Eun Gu Lee[†], Jong Kook Lee, Woo Yang Jang, Sun Jae Kim* and Jae Gab Lee**

Dept. of Advanced Materials Engineering, Chosun University, #375 Seosuk-dong, Dong-gu, Gwangju 501-759, Korea

*Dept. of Advanced Institute of Nano Technologies, Sejong University, Seoul 143-747, Korea

**School of Advanced Materials Engineering, Kookmin University, Seoul 136-702, Korea

(2004년 10월 29일 받음, 2005년 2월 4일 최종수정본 받음)

Abstract Magnetoelectric (ME) effects for lanthanum modified BiFeO₃-xPbTiO₃ (BF-xPT) solid solutions have been investigated. The value of magnetoelectric polarization coefficient, α_p is 10 times greater than that of Cr₂O₃. The results also show that α_p is due to a linear coupling between polarization and magnetization, and that α_p is independent of dc magnetic bias and ac magnetic field. The ME effect is believed to be significantly enhanced due to breaking of the cycloidal spin state of a long-period spiral spin structure, via randomly distributed charged imperfections.

Key words ferroelectric, ferromagnetic, magnetoelectric, magnetoferroelectric.

1. 서 론

자전(magnetoelectric, ME) 효과는 인가한 자장에 의해 분극이 일어나거나 반대로 인가한 전장에 의해 자화되는 현상이다.¹⁾ 1960년대에 Astrov²⁾가 Cr₂O₃에서 자전 효과를 발견한 이후로 강자성과 강유전성 간의 상호작용에 대한 연구가 활발히 진행되고 있다. 현재까지 단일 상에서 발견된 가장 큰 자전 분극상수(ME Polarization coefficient, α_p)는 단결정 Cr₂O₃에서 발견되었으며 상온에서 $2.67 \times 10^{-10} \text{ C/Oe}\cdot\text{m}^2$ ($V_{ME} \sim 0.02 \text{ V/Oe}\cdot\text{cm}$) 값을 갖고 Neel 온도 (T_N)에서 영이 된다.³⁻⁵⁾ 단결정 Cr₂O₃는 반강자성이나 강유전체는 아니다.^{6,7)} 높은 자전효과는 자기강유전 (magnetoferroelectric, 강자성이면서 동시에 강유전체) 재료에서 찾았으나 아직 그러한 재료는 발견되지 않았다. 자기강유전 재료는 자발 분극 (P_s)과 자발 자화 (M_s) 2가지 규칙성을 갖고 있다. 현상학적으로는 이들간에 일차, 이차 또는 그 이상의 상호작용이 내재되어 있다.

이러한 자전효과를 갖는 재료는 기억소자, 전장에 의해 조절되는 강자성소자 및 자장에 의해 조절되는 압전 소자와 같은 특별한 소자에 응용가능성이 제시되어 관심

이 집중되고 있다.⁸⁾ 따라서, 상온에서 우수한 특성을 갖는 자기강유전 재료를 얻기 위하여 다양한 노력이 있었다. 특히, 페로브스카이트 구조를 갖는 반강자성 BiFeO₃과 동일한 구조를 갖는 강유전체인 BaTiO₃, PbTiO₃, Pb(Fe_{0.5}Nb_{0.5})O₃의 고용체에 대해 많은 연구가 있었다.⁹⁻¹²⁾ 이러한 고용체는 BiFeO₃의 구조를 바꾸어주어 강유전특성과 강자성특성에 영향을 미치므로 자전특성을 향상시킬 수 있다.

BiFeO₃ 재료는 강유전체의 Curie 온도 (T_c)가 1103 K으로 높으며, 반강자성 Neel 온도 (T_N)가 643 K로 알려져 있다.¹³⁾ 이 결정의 평균 구조는 능면정 ($a_r = 5.61 \text{ \AA}$, $\alpha_r = 59^\circ 40'$)으로 변형된 페로브스카이트 입방구조를 하고 있으며, 육방정계의 (001)_H과 동일 방향인 유사입방 (111)_C 방향으로 3회 회전축이 있다. BiFeO₃ 결정의 자기모멘트는 Fe³⁺에 의해 이루어지며, Fe³⁺은 이웃하는 6개의 Fe³⁺과 반평행하므로 (001)_H 방향으로 반강자성 규칙성을 보이고 있다. BiFeO₃의 반강자성 구조는 G-형 규칙을 하고 있으나, 긴 영역에서 cycloidal spiral 변조 ($\lambda = 620 \text{ \AA}$)를 하여 G-형 규칙이 변형되어 있다.¹⁴⁾ 즉, 반강자성 벡터와 자전효과가 spiral 변조 주기로 모두 소멸되어 영으로 된다. 따라서, 본 연구에서는 BiFeO₃에 La을 첨가하고 PbTiO₃과 고용체 [(Bi,La)FeO₃-PbTiO₃]를 만들어 강유전특성과 강자성특성을 측정하고 자전효과의

[†]E-Mail : eglee@chosun.ac.kr

변화를 조사하고자 한다.

2. 실험 방법

BiFeO_3 (BF)에 La을 0, 10, 20at%를 첨가한 $(\text{Bi},\text{La})\text{FeO}_3$ 과 PbTiO_3 (PT)의 고용체인 $[(\text{Bi},\text{La})\text{FeO}_3-x\text{PbTiO}_3]$ 를 ($0.2 < x < 0.55$) 제작하였다. 사용된 세라믹 파우더 (Aldrich 사)는 99% 이상의 순도를 갖는 시약용 Bi_2O_3 , Fe_2O_3 , La_2O_3 , PbCO_3 및 TiO_2 를 사용하였다. 분말의 혼합은 24시간 동안 ZrO_2 볼밀로 혼합하였으며, 하소는 750°C에서 4시간하였고 성형 후 밀폐된 도가니에서 1100°C에서 1시간 동안 소결하였다. BF-PT는 약 40%PT에서 rhombohedral-tetragonal morphotropic phase boundary(MPB)를 갖고 전 농도 구간에서 고용체를 형성하는 것으로 알려져 있다.¹⁵⁾

성형과 소결 후 시편의 크기를 직경 10 mm, 두께 0.5 mm으로 제조하였으며 120°C 실리콘 오일 내에서 50 kV/cm, 10분간 분극하였고 전극으로는 Ag paste (Dupont 6160)을 사용하였다. 유전특성은 HP4284로 측정하였으며 압전 특성은 Berlincourt d_{33} meter를 이용하였다. 강유전체의 분극-전장(P-E), 스트레인-전장(ε -E) 이력곡선은 linear variable differential transducer (LVDT)가 내장된 modified Sawyer-Tower 회로로 측정하였다.

인가한 자장에 의해 유도된 전압 (V_{ME})을 측정하기 위하여 전자석을 이용하여 직류 자장, H_{dc} 을 0-3000 Oe까지 인가하였으며 동시에 작은 Helmoltz 코일을 이용하여 교류자장, H_{ac} 을 0.08-1 Oe로 변화시켜 인가하였다. 시편에 유도된 전압 (V_{ME})을 lock-in amplifier를 이용하여 H_{ac} 의 변화에 따라 측정하였으며 측정 주파수는 10^3 Hz였다. 자전 전압상수 (ME voltage coefficient, α_E)는 V_{ME} 을 H_{ac} 과 시편의 두께 (t)로 나누어서 $\text{V}/\text{Oe}\cdot\text{cm}$ 단위로 계산하였다.

분극과 자화의 상호작용에 의한 자전분극상수 (α_P)는 $\alpha_P = (\delta P / \delta H) = K\varepsilon_0(\delta E / \delta H)$ 이 되며 여기서 K 는 상대 유전율이고 ε_0 는 permittivity이다. 자장에 의해 유도된 분극(P)는, $P = K\varepsilon_0(V_{ME}/t)$ 으로부터 계산하였다.

3. 결과 및 고찰

BF-xPT 고용체에 La의 첨가는 유전특성에 미치는 영향을 조사하기 위하여 0, 20at% La를 첨가한 시편의 유전상수 변화를 PT의 조성변화에 따라 Fig. 1(a)에 나타내었다. Fig. 1(a)를 보면 La의 첨가는 유전상수를 증가시켰다. 0% La 시편의 경우 0.3PT에서, 20% La를 첨가한 시편의 경우 0.45PT 근처에서 유전상수가 최대가 되었다. 온도 변화에 따른 유전상수의 변화를 나타낸 Fig. 1(b)를 보면 $(\text{Bi},\text{La})\text{FeO}_3-0.3\text{PbTiO}_3$ 의 Curie온도 (T_c)는

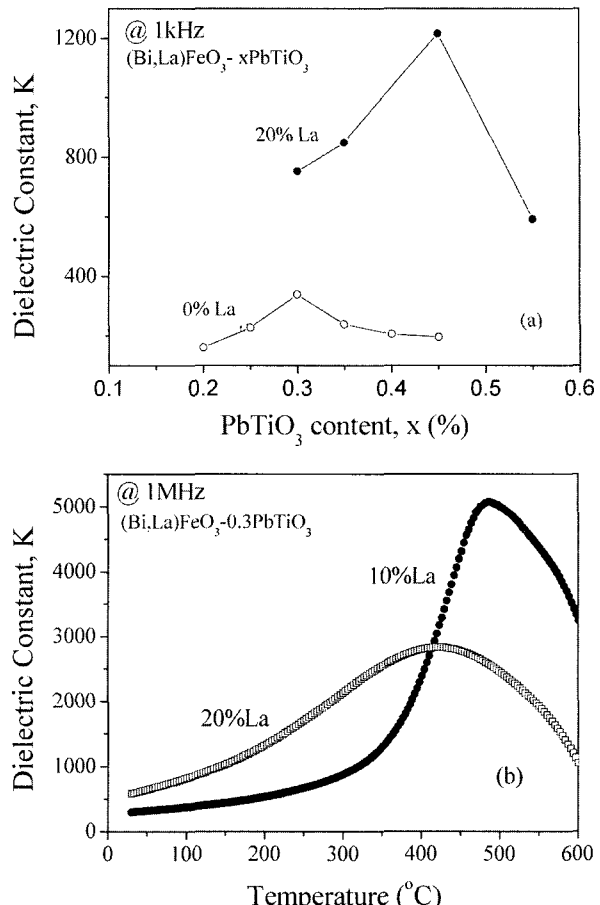


Fig. 1. Dielectric constant of $(\text{Bi},\text{La})\text{FeO}_3-\text{PbTiO}_3$ (a) as a function of PbTiO_3 for 0% and 20% La substitution measured at 1 kHz and (b) as a function of temperature for 10% and 20% La substitution measured at 1 MHz.

400-500°C 정도이었다. La의 농도가 증가할수록 상온에서의 유전상수는 증가하나 고온에서의 유전상수와 T_c 가 감소하였으며 diffuse한 상변태가 일어나는 것을 알 수 있다.

Fig. 2에 $(\text{Bi},\text{La})\text{FeO}_3-0.3\text{PbTiO}_3$ 시편의 P-E과 ε -E 이력곡선을 나타내었다. Fig. 2(a)를 보면 0% La 시편의 경우 매우 열악한 이력곡선 특성을 보이나, 10% La을 첨가한 시편의 경우 매우 양호한 이력곡선 특성을 보이고 있으며 잔류 분극과 항전계 값은 각각 $30 \mu\text{C}/\text{cm}^2$ 과 40 kV/cm이었다. Fig. 2(b)에 10% La을 첨가한 BF-0.3PT 시편의 ε -E 이력곡선을 나타내었으며 최대 스트레인 값은 1.3×10^{-3} 이었으며 Berlincourt d_{33} meter로 측정한 압전상수는 130 pC/N이었다. BiFeO_3 를 근간으로 한 소재의 응용에 가장 큰 장애는 분극시키기에 너무 높은 항전계 (H_c) 값과 좋은 특성의 자전효과를 얻기 어려운 낮은 비저항 값이다. 이러한 단점은 La를 첨가한 BF-PT 고용체를 제작함으로써 항전계 값은 40 kV/cm, 비저항 값은 $10^{12} \Omega\text{cm}$ 이상을 얻을 수 있었다.

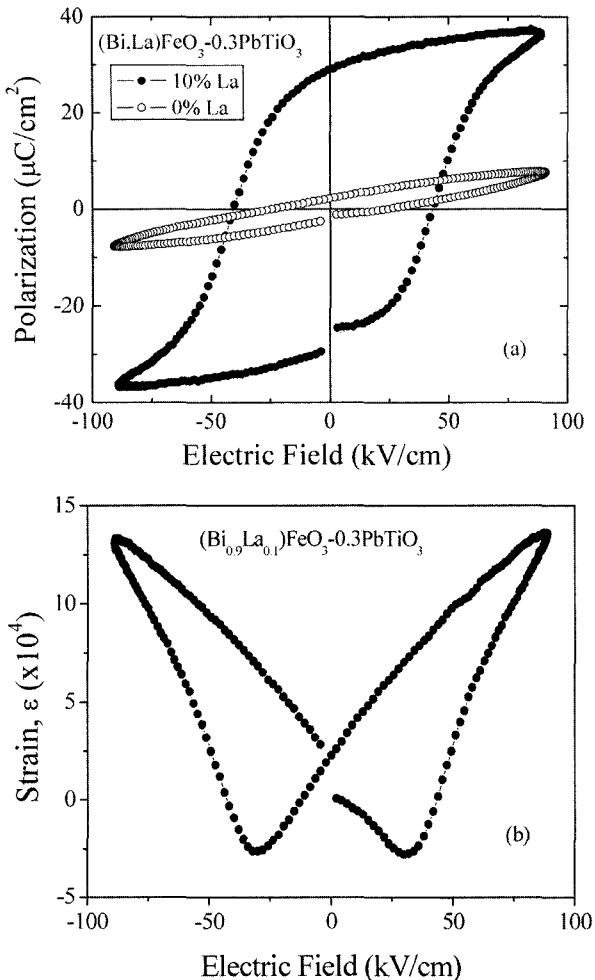


Fig. 2. P-E and ϵ -E hysteresis loops for (Bi_xLa_{1-x})FeO₃-0.3PbTiO₃ ceramics. (a) P-E curve and (b) ϵ -E curve

(Bi_{0.9}La_{0.1})FeO₃-0.3PbTiO₃ 시편의 분극 전·후의 자전효과를 측정하기 위하여 교류자장에 따른 유도전장 값을 측정하였으며 그 결과를 Fig. 3에 나타내었다. Fig. 3을 보면 인가한 자장에 따라 유도된 전장이 선형적으로 증가하였으며, 분극 전에도 자전효과가 존재한다는 것을 알 수 있었다. 즉, 분극하기 전에는 순수 분극과 순수 자화모멘트 값이 각각 전체적으로 소멸되어 영으로 되지만, 분극-자화 간에는 선형적인 상호 작용이 존재하고 있다는 것이다. 분극 전·후의 자전전압상수 (α_E) 값은 각각 4.2과 7.2 mV/Oe-cm이었고 자전분극상수 (α_P) 값은 각각 1.4와 2.4×10^{-9} C/Oe-m²이었다. 이 값은 인가한 직류 자장 (0-3000 Oe)과 교류 자장 (0.8-1 Oe)의 변화에 관계없이 일정하였다. 분극 후의 자전분극 상수 값인 2.4×10^{-9} C/Oe-m²은 단일 산화물로 가장 큰 자전효과를 갖고 있는 단결정 Cr₂O₃보다 약 10배 정도 큰 값이다.

전기와 자기에너지의 비 표현되는 magnetoelectric coupling coefficient (k_{me})는 아래 식 (1)과 같이 주어진

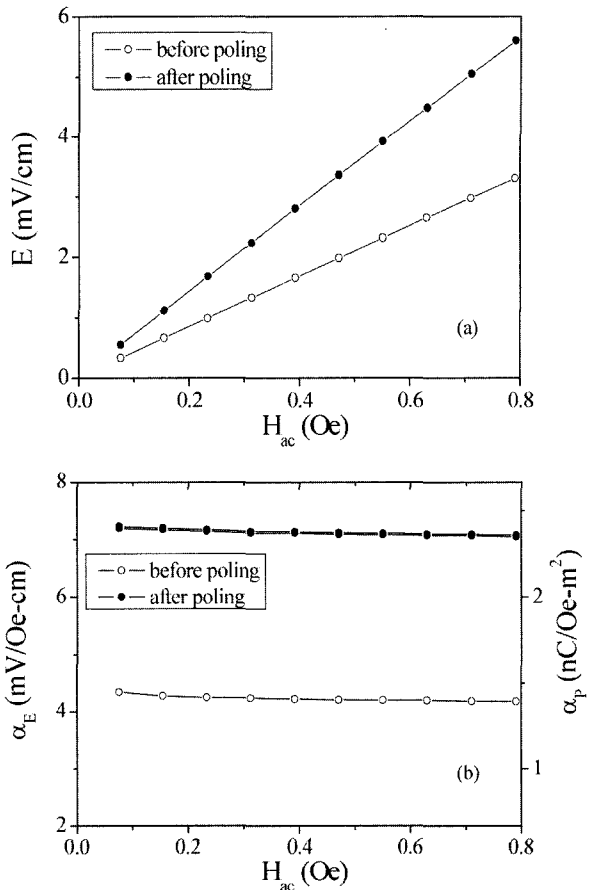


Fig. 3. Magnetic field induced (a) electric field and (b) magnetoelectric coefficient (α_E and α_P) as a function of ac magnetic field for (Bi_{0.9}La_{0.1})FeO₃-0.3PbTiO₃ ceramics.

다.

$$k_{me}^2 = \frac{\varepsilon E^2}{\mu H^2} = \frac{\alpha_P^2}{\varepsilon \mu} = \frac{c^2 \alpha_P^2}{K} \quad (1)$$

여기서 K는 상대유전상수이고 c는 빛의 속도이다. 이식에서 상대유전상수 값을 375으로 하여 계산한 k_{me} 값은 약 0.04이었다. (Bi_{0.9}La_{0.1})FeO₃-0.3PbTiO₃시편의 온도변화에 따른 α_E 값의 변화를 나타낸 Fig. 4를 보면 α_E 값은 100°C까지는 거의 일정하였으며 그 이상의 온도에서는 약간 증가하였고 200°C까지도 높은 값을 유지하고 있었다.

(Bi_{0.9}La_{0.1})FeO₃-xPbTiO₃ 시편의 PT 농도 변화에 따른 자전상수의 변화를 측정하였으며 Fig. 5에 나타내었다. Fig. 5를 보면 PT 농도가 증가함에 따라 자전상수 값이 증가하였으며 0.45PT의 경우 (P값은 2.7×10^{-9} C/Oe-m²)이었다. 0.2PT 시편의 자전상수 값은 1.3×10^{-9} C/Oe-m²으로 0.45PT 시편의 50% 정도이었는데 이는 0.2PT 시편의 항전장 값이 커서 인가한 분극 전장인 50 kV/cm에서 분극이 안되어 낮은 자전상수를 보이고 있는 것으로

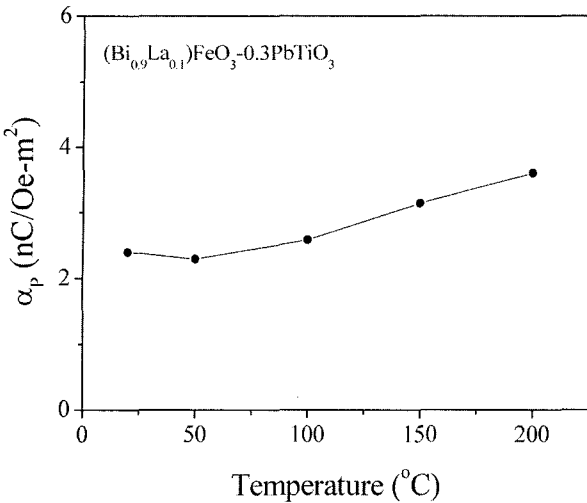


Fig. 4. Magnetoelectric coefficient (α_p) as a function of temperature for $(\text{Bi}_{0.9}\text{La}_{0.1})\text{FeO}_3\text{-}0.3\text{PbTiO}_3$ ceramics.

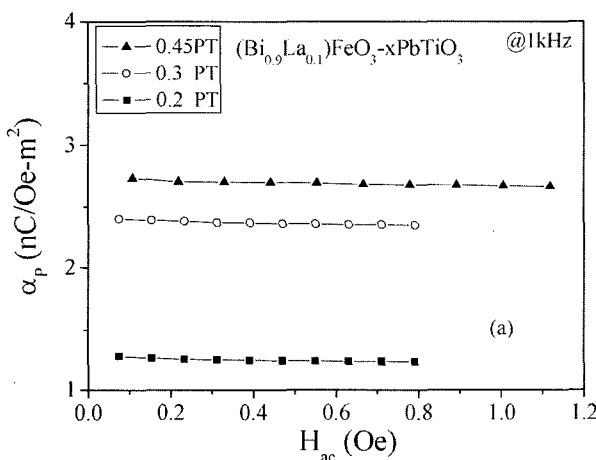


Fig. 5. Magnetoelectric coefficient (α_p) as a function of ac magnetic field for various PbTiO_3 content.

판단된다. La의 첨가 효과를 측정하기 위하여 20% La 이 첨가된 $(\text{Bi}_{0.8}\text{La}_{0.2})\text{FeO}_3\text{-}0.3\text{PbTiO}_3$ 시편의 자전상수를 측정하여 Fig. 6에 나타내었다. Fig. 6을 보면 Fig. 5의 $(\text{Bi}_{0.9}\text{La}_{0.1})\text{FeO}_3\text{-}0.3\text{PbTiO}_3$ 시편에 비해 자전상수 값은 약간 증가하였으나 인가한 직류자장이 증가함에 따라 자전 상수 값이 감소하였다. 즉, 직류자장 의존성이 나타났다. 이러한 이유는 아직 정확히 알 수 없었고 앞으로 연구 해야 할 것이다. 이와 같이 La이 첨가된 BF-PT 고용체는 단결정과는 매우 다른 강유전특성과 자전효과를 보이고 있다. 이러한 결과로부터 단결정에서 나타나는 cycloidal 스픈구조가 고용체에서는 격자 결합에 의해 spiral 스픈 구조가 변화한 것으로 예상할 수 있다.

순수한 단결정과 고용체 재료에서 나타나는 자전 효과의 차이는 Landau-Ginzburg (LG) 자유에너지식^[16,17]으로

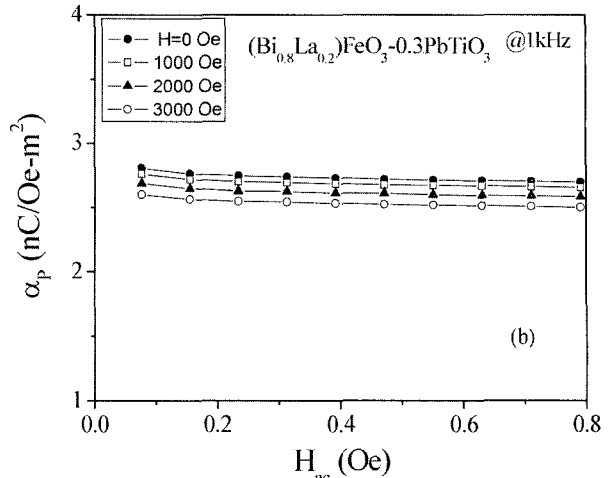


Fig. 6. Magnetoelectric coefficient (α_p) for $(\text{Bi}_{0.8}\text{La}_{0.2})\text{FeO}_3\text{-}0.3\text{PbTiO}_3$ ceramics as a function of ac magnetic field under different dc magnetic field.

부터 설명할 수 있다.

$$F = F_L + F_{\text{exch}} + F_{\text{an}} + F_m \quad (2)$$

여기서 F_L 은 선형 magnetoelectric coupling (Lifshitz invariant), F_{exch} 는 inhomogeneous exchange energy, F_{an} 은 magnetic anisotropy energy, F_m 은 magnetic energy이다. 고용체의 영향을 이해하기 위하여 Fan 항목에 순수 단결정 자기이방성 상수 ($K_u^0 = 8.5 \times 10^3 \text{ J/m}^3$)에 고용체의 격자 결합에 의한 자기이방성 상수(ΔK)를 고려해야 한다. ΔK 는 이온화된 전하(Q)와 분극(P_z)의 상호 작용에 의해 일어나는 것으로 가정할 수 있으므로 $\Delta K = QP_z$ 과 같이 표현되며, 외부전장이 없는 경우의 자전 상수는 아래식 (3)과 같이 된다.^[18,19]

$$\alpha_{\text{eff}}^2 = \frac{QA}{4\pi P_z} \quad (3)$$

여기서, α_{eff}^2 는 effective inhomogeneous 자전상수이고 A 는 stiffness 상수이다. 전하를 갖지 않은 결합이 없는 순수한 단결정 재료에서는 α_{eff}^2 이 영되나, 고용체의 경우 임의로 분산된 치환 원소에 의한 전하 결합은 spiral 전자구조에 영향을 주어 스펀 구조가 변하게 되고 자전 효과가 나타나게 되는 것으로 판단된다.

4. 결 론

La이 첨가된 BF-PT 고용체는 양호한 강유전특성과 갖고 있었고, 단결정 Cr_2O_3 에 비해 약 10배 정도 큰 자전 효과를 나타내었다. 이러한 결과는 분극과 자화 간의 선형 상호 작용에 의한 것이었으며 자전상수는 직류 및 교

류 자장에 관계 없이 일정하였다. 이러한 현상은 단결정 BiFeO₃에서는 나타나는 cycloidal spiral 스핀 구조에 의해 자전효과가 소멸되나, (Bi,La)FeO₃-xPbTiO₃ 고용체에서는 첨가 원소에 의해 주기성이 파괴되어 자전 효과가 나타나는 것으로 설명할 수 있었다.

감사의 글

이 논문은 2003년도 조선대학교 연구비의 지원을 받아 연구되었음.

참 고 문 헌

1. G. A. Smolenskii and I. Chupis, Sov. Phys. Usp., **25**, 475 (1982).
2. D. V. Astrov, Sov. Phys. JETP, **11**, 708 (1960).
3. D. Astrov, Sov. Phys. JETP, **13**, 729 (1961).
4. V. J. Folen, G. T. Rado and E. W. Stalder, Phys. Rev. Lett., **6**, 607 (1961).
5. B. Krichevtskov, V. Pavlov, R. Pisarev and V. Gridnev, J. Phys. C: Condensed Matter, **5**, 8233 (1993).
6. E. Kita, Ferroelectrics, **162**, 397 (1994).
7. Yu. Popov, D. Belov, G. Vorob'ev, A. Kadomtseva, M. Lukina, A. Zvezdin, and M. Tegeranchi, Sov. Phys. JETP, **82**, 479 (1996).
8. H. Schmid, Ferroelectrics, **162**, 317 (1994).
9. A. I. Kashlinskii, V. I. Chechernikov and Y. N. Venevtsev, Sov. Phys.-Solid State, **8**, 2074 (1969).
10. M. M. Kumar, S. Srinath, G. S. Kumar and S. V. Suryanarayana, J. Magn. Magn. Mater., **188**, 203 (1998)
11. S. A. Fedulov, P. B. Ladyzhinskii, I. L. Pyatigorskaya and Y. N. Venevtsev, Sov. Phys.-Solid State, **6**, 375, (1964)
12. G. A. Smolenskii and V. M. Yudin, Sov. Phys.-Solid State, **6**, 2936, (1965)
13. S. V. Kiselov, R. P. Ozerov and G. S. Zdanov, Sov. Phys. Dokl., **7**, 742 (1963)
14. I. Sosnowska, T. Peterlin-Neumaier and E. Steichele, J. Phys. C, **15**, 4835 (1982).
15. A. Fedulov, P. B. Ladyzhinskii, I. L. Pyatigorskaya and Y. N. Venevtsev, Soviet Phys.-Solid State, **6**, 375 (1964).
16. I. Sosnowska, M. Loewenhaupt, W. I. F. David and R. Ibbsen, Physica B, **180,181**, 117 (1992).
17. B. Ruette, S. Zvyagin, A. P. Pyatakov, A. Bush, J. F. Li, V. I. Belotelov, A. K. Zvezdin and D. Viehland, Phys. Rev. B, **69**, 64114 (2004).
18. I. Sosnowska and A. Zvezdin, J. Magnetism and Magnetic Materials, **140-144**, 167 (1995).
19. A. P. Levanyuk and A. S. Sigov, "Defects and Structural Phase Transitions", Gordon and Breach Science Publishers, New York, New York (1988).